

## О ТЕМПЕРАТУРНОМ ПОЛЕ ПЛАСТА ПРИ НАГНЕТАНИИ В НЕГО ТЕПЛОНОСИТЕЛЯ

*М. А. Пудовкин (Казань)*

При длительной закачке воды в скважину может изменяться поле температур пласта в целом [1, 2]. Теоретическому и экспериментальному изучению этого вопроса посвящены работы [3-10].

Ниже рассматривается краевая задача о нахождении поля температур в бесконечном пласте по мощности и простиранию. Пласт делится на две части: в слой, куда закачивается вода (водный слой), и песчаник, содержащий нефть вне водного слоя. Пласт мыслится термически анизотропным именно: вне водного слоя теплопроводности по вертикали и горизонтали различны и конечны, в водном слое теплопроводность в вертикальном направлении бесконечна и исчезающа мала в горизонтальном направлении. Краевая задача решается при специфическом краевом условии.

Постановка задачи. Пусть имеется бесконечно глубоко залегающий пласт, в который через единичную скважину, совпадающую с осью  $z_1$  цилиндрической системы координат  $(r, z, \varphi)$ , на отрезке  $-h_1 < z_1 < h_1$  нагнетается несжимаемая жидкость с постоянным объемным дебитом  $Q^o$  и произвольной температурой  $T_B(t)$ , отличной от постоянной начальной температуры пласта  $T_0$  ( $T_B > T_0$  в случае нагревания и  $T_B < T_0$  в случае охлаждения) (фиг. 1). В слое пласта между горизонтальными плоскостями  $z = \pm h$ , куда закачивается вода, в областях, куда вода из скважины уже вторглась, физико-термические свойства отличны от свойств остальной части пласта. Это предположение оправдывается тем, что при внутреннем и законтурном заводнении приемистость воды обеспечивается не по всей мощности пласта, а только в той части ее, где имеет место наибольшая проницаемость. Следовательно, здесь будут другие физико-термические параметры. Влиянием изменения пластовых давлений на изменение температуры пласта пренебрегаем. Далее, предположим, что теплофизические параметры пласта и водного слоя, где  $-h_1 < z_1 < h_1$ , не зависят от температуры. Жидкость поступает в слой пласта, где  $|z_1| < h$ , а границу между областью, занятой жидкостью, и остальной частью пласта, как предполагается, представляет собой расширяющаяся цилиндрическая поверхность  $r = r(t)$  высотой  $2h_1$  и с осью симметрии, совпадающей с осью  $z_1$ . Здесь, как бы имеет место аналогия с «поршневым» вытеснением нефти водой, где границей соприкосновения их (водонефтяной контакт) служит перемещающаяся со временем цилиндрическая поверхность.

Предполагаем, что теплопроводности пласта в направлении простирания и по вертикали различны между собой. При наличии радиальной симметрии температура  $T_2(r, z_1, t_1)$  пласта, где  $|z_1| > h_1$ , будет удовлетворять уравнению

$$\lambda_1 \frac{1}{r} \frac{\partial}{\partial r} r \frac{\partial T_2}{\partial r} + \lambda_2 \frac{\partial^2 T_2}{\partial z_1^2} = c_2 \gamma_2 \frac{\partial T_2}{\partial t_1} \quad \left( \begin{array}{l} r > 0, \quad t_1 > 0 \\ |z_1| > h_1, \quad \lambda_2 < \lambda_1 \end{array} \right) \quad (1)$$

Здесь  $\lambda_1$  — теплопроводность в радиальном направлении,  $\lambda_2$  — теплопроводность в вертикальном направлении (ккал / м час·град),  $c_2 \gamma_2$  — объемная теплоемкость нефтенасыщенной части пласта,  $c_2$  — удельная теплоемкость ккал / кг·град,  $\gamma_2$  — плотность тела кг/м<sup>3</sup>.

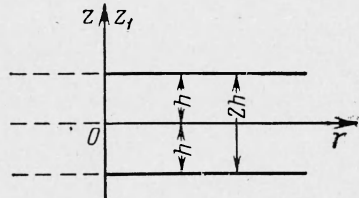
Пласт в зоне воды  $-h_1 < z_1 < h_1$  будем считать термически анизотропным [10, 11], имеющим бесконечную теплопроводность в вертикальном направлении и исчезающее малую по простиранию.

Предполагаем также, что плоскость  $z_1 = 0$  является плоскостью симметрии температур пласта, и далее будем рассматривать только верхнюю часть, где  $z_1 > 0$ . Условие сопряжения температур пласта и водного слоя заменим уравнением теплового баланса элементарного слоя, заключенного между двумя цилиндрами с осью в источнике и толщиной  $dr(r, r + dr)$  и плоскостями  $z_1 = \pm h$ . Составим уравнение теплового баланса для упомянутого элементарного объема.

Изменение теплосодержания элемента объема за  $dt$ ,  $dQ$  выразится

$$dQ = c_1 \gamma_1 2\pi r 2h_1 \frac{\partial T_1}{\partial t_1} dr dt_1 \quad (2)$$

Здесь  $c_1 \gamma_1$  — объемная теплоемкость водного слоя;  $T_1(r, t_1)$  — температура водного слоя.



Фиг. 1

Количество тепла  $dQ_1$ , аккумулированное в элементе объема за счет конвективного переноса тепла за  $dt_1$ , будет равно

$$dQ_1 = - Q^o c_b \gamma_b \frac{\partial T_1}{\partial r} dr dt_1 \quad (3)$$

Здесь  $c_b \gamma_b$  — объемная теплоемкость инжектируемой жидкости,  $Q^o$  — объемный расход жидкости.

Количество тепла  $dQ_2$ , полученное элементом объема из пласта  $|z_1| > h_1$ , за счет теплообмена, равно

$$dQ_2 = 2 \cdot 2\pi r \lambda_2 \left. \frac{\partial T_2}{\partial z_1} \right|_{z_1=h_1} dr dt_1 \quad (4)$$

Используя соотношения  $dQ = dQ_1 + dQ_2$ , получим

$$c_1 \gamma_1 h_1 \frac{\partial T_1}{\partial t_1} + \frac{Q^o c_b \gamma_b}{4\pi r} \frac{\partial T_1}{\partial r} - \lambda_2 \left. \frac{\partial T_2}{\partial z_1} \right|_{z_1=h_1} \quad (5)$$

Чтобы учесть количество тепла, поступившего внутрь элемента посредством теплопроводности, к правой части (5) нужно присоединить слагаемое

$$\frac{\lambda_1 h_1}{r} \frac{\partial}{\partial r} \left( r \frac{\partial T_1}{\partial r} \right)$$

Здесь  $\lambda_1$  — теплопроводность пласта, где  $|z_1| < h$ , т. е. количество тепла, аккумулированное в элементе объема за время  $dt_1$ , обусловленное теплопроводностью в направлении  $r$ . Как показано в работе [3], влияние этого слагаемого очень мало и им можно пренебречь.

Кроме (1), (5) также должны выполняться условия

$$T_1 = T_2 \quad \text{при } z_1 = \pm h_1 \quad (6)$$

$$T_1 = T_2 = T_0 = \text{const} \quad \text{при } t_1 = 0, \sqrt{r^2 + z_1^2} \rightarrow \infty \quad (7)$$

$$T_1 = f_1(t_1) \quad \text{при } r = 0, z_1 = h_1 \quad (8)$$

Здесь принимаем  $z_1 = h_1$ , так как температура  $T_1$  для  $|z_1| \leq h_1$  одинакова, по предположению не изменяется [10] с изменением  $z_1$ .

Преобразуем уравнение (1) и условия (5) — (8). Разделим уравнение (1) на  $\lambda_1$  и положим

$$z_1 \sqrt{\frac{\lambda_1}{\lambda_2}} = z, \quad \frac{\lambda_1}{c_2 \gamma_2} t_1 = t, \quad h_1 \sqrt{\frac{\lambda_1}{\lambda_2}} = h \quad (9)$$

Тогда уравнение (1) и условие (5) принимают вид

$$\frac{1}{r} \frac{\partial}{\partial r} r \frac{\partial T_2}{\partial r} + \frac{\partial^2 T_2}{\partial z^2} = \frac{\partial T_2}{\partial t}, \quad r > 0, \quad t > 0, \quad |z| > h \quad (10)$$

$$a \frac{\partial T_1}{\partial t} + b \frac{1}{r} \frac{\partial T_1}{\partial r} = \left. \frac{\partial T_2}{\partial z} \right|_{z=h} \quad \left( a = \frac{c_1 \gamma_1 h_1}{c_2 \gamma_2} \frac{\sqrt{\lambda_1}}{\sqrt{\lambda_2}}, \quad b = \frac{Q^o c_b \gamma_b}{4\pi \sqrt{\lambda_1 \lambda_2}} \right) \quad (11)$$

Условия (6), (7), (8) для новых независимых переменных не изменят своего вида. Положим

$$\theta_2 = T_0 - T_2, \quad \theta_1 = T_0 - T_1 \quad (12)$$

Равенства (10), (11), (6) сохранят свой вид для  $\theta_1, \theta_2$ , начальное условие (7) превратится в нулевое, а условие (8) примет вид

$$\theta_1 = T_0 - f(t) = \Psi(t) \quad \text{при } r = 0, z = h \quad (13)$$

Для решения сформулированной задачи над равенствами (10), (11), (13) осуществим преобразование Лапласа по переменному  $t$ .

Положим

$$L[\theta_{1,2}(r, z, t)] = U_{1,2}(r, z, s) = \int_0^\infty e^{-st} \theta_{1,2} dt \quad (14)$$

$$L[\Psi(t)] = \int_0^\infty e^{-st} \Psi(t) dt = F(s) \left( L[1] = \frac{1}{s} \right) \quad (15)$$

Тогда уравнения (10), (11) принимают вид

$$\frac{1}{r} \frac{\partial}{\partial r} r \frac{\partial U_2}{\partial r} + \frac{\partial^2 U_2}{\partial z^2} = sU_2, \quad z > h, \quad r > 0 \quad (16)$$

$$asU_1 + b \frac{1}{r} \frac{\partial U_1}{\partial r} = \frac{\partial U_2}{\partial z}, \quad z = h \quad (17)$$

а условие (6) и начальное нулевое условие (7) для  $U$  сохраняются.

Осуществим преобразование Ханкеля [12] нулевого порядка над  $U(r, z, s)$  — результат преобразования обозначим через  $V(p, z, s)$ , т. е.

$$H(U) = V(p, z, s) = \int_0^\infty rU(r, z, s) J_0(rp) dr \quad (18)$$

где  $J(rp)$  — функция Бесселя нулевого порядка первого рода действительного аргумента,  $p$  — параметр преобразования (индексы у  $U$  опущены).

Преобразованием Ханкеля (18) и последовательным интегрированием по частям имеем

$$\int_0^\infty r \frac{1}{r} \frac{\partial}{\partial r} r \frac{\partial U}{\partial r} J_0(rp) dr = - \left( r \frac{\partial U}{\partial r} \right)_{r \rightarrow 0} + p \int_0^\infty Urp \left[ J_0''(rp) + \frac{1}{r_p} J_0'(rp) \right] dr$$

и так как  $J_0(rp) + (rp)^{-1}J_0'(rp) + J_0(rp) = 0$ , то

$$\begin{aligned} \int_0^\infty J_0(rp) \frac{\partial}{\partial r} r \frac{\partial U}{\partial r} dr &= - \left( r \frac{\partial U}{\partial r} \right)_{r \rightarrow 0} - p^2 \int_0^\infty rUJ_0(rp) dr = \\ &= - \left( r \frac{\partial U}{\partial r} \right)_{r \rightarrow 0} - p^2V(p, r, s) \end{aligned} \quad (19)$$

Будем предполагать, что первое слагаемое здесь обращается в нуль. С учетом (19) уравнение (16) примет вид

$$d^2V/dz^2 - (p^2 + s)V = 0 \quad (20)$$

Уравнение (20) имеет следующее, ограниченное на бесконечности, решение

$$V(p, z, s) = c_1(p, s) e^{-(z-h)\sqrt{p^2+s}} \quad (z > h) \quad (21)$$

обратное преобразование Ханкеля дает

$$H^{-1}(V) = U(r, z, s) = \int_0^\infty pc_1(p, s) e^{-(z-h)\sqrt{p^2+s}} J_0(rp) dp \quad (22)$$

Условие (17) при учете равенства  $J_0'(rp) = -J_1(rp)$  и умножении всего равенства на  $r$  дает

$$\int_0^\infty J_0(rp) c_1(p, s) rp [as + \sqrt{p^2+s}] dp - b \int_0^\infty p^2 c_1(p, s) J_1(rp) dp = 0 \quad (23)$$

Умножая равенство (23) на  $J_0(rx)$ , интегрируя его по  $r$  от нуля до бесконечности и меняя порядок интегрирования, получим

$$\begin{aligned} \int_0^\infty pc_1(p, s) [as + \sqrt{p^2+s}] \left\{ \int_0^\infty rJ_0(rx) J_0(rp) dr \right\} dp - \\ - b \int_0^\infty p^2 c_1(p, s) \left\{ \int_0^\infty J_0(rx) J_1(rp) dr \right\} dp = 0 \end{aligned} \quad (24)$$

Но первый интеграл есть интеграл Бесселя — Фурье и, следовательно,

$$\int_0^\infty pc_1(p, s) [as + \sqrt{p^2+s}] \left\{ \int_0^\infty rJ_0(rp) J_0(rx) dr \right\} dp = c_1(x, s) [as + \sqrt{x^2+s}] \quad (25)$$

Из второго слагаемого (24) внутренний интеграл представляет собой частный случай разрывного интеграла Вебера — Шафтейтлина [8,9] и равен

$$\int_0^\infty J_0(xr) J_1(rp) dr = \begin{cases} 1/p & (p > x) \\ 0 & (p < x) \end{cases} \quad (26)$$

Следовательно, условие (24) примет вид

$$c_1(x, s) [as + \sqrt{x^2 + s}] - b \int_0^\infty pc_1(p, s) dp = 0 \quad (27)$$

Но в последнем интеграле в силу (27) нижний предел надо заменить на  $x$ . Будем иметь

$$c_1(x, s) [as + \sqrt{x^2 + s}] - b \int_x^\infty pc_1(p, s) dp = 0 \quad (28)$$

Положим

$$\varphi(x, s) = \int_x^\infty pc_1(p, s) dp, \quad \text{или} \quad \frac{d\varphi}{dx} = -xc_1(x, s) \quad (29)$$

Тогда уравнение (28) примет вид

$$xc_1(x, s) \frac{as + \sqrt{x^2 + s}}{x} - b \int_x^\infty xc_1(x, s) dx = 0 \quad (30)$$

Учитывая (2.9), получим

$$-\frac{d\varphi}{\varphi} - \frac{bx}{as + \sqrt{x^2 + s}} dx = 0; \quad \varphi(0, s) = 1/s \quad \text{при } x = 0 \quad (31)$$

$$\varphi(x, s) = \frac{1}{s} e^{b\sqrt{s}} \frac{e^{-b\sqrt{x^2+s}} (as + \sqrt{x^2 + s})^{abs}}{(as + \sqrt{s})^{abs}} \quad (32)$$

Дифференцируя (32) и учитывая (29), найдем

$$c_1(x, s) = \frac{b}{s} e^{b\sqrt{s}} \frac{(as + \sqrt{x^2 + s})^{abs-1} e^{-b\sqrt{x^2+s}}}{(a\sqrt{s} + 1)^{abs} s^{1/2abs}} \quad (33)$$

меняя в (33)  $x$  на  $p$ , из (21) найдем

$$V(p, z, s) = \frac{b}{s} e^{b\sqrt{s}} \frac{(as + \sqrt{p^2 + s})^{abs-1} e^{-b\sqrt{p^2+s}} e^{-(z-h)\sqrt{p^2+s}}}{(a\sqrt{s} + 1)^{abs} s^{1/2abs}} \quad (34)$$

На основании теоремы обращения [12] из (22) и (34) имеем

$$\begin{aligned} U(r, z, s) &= \int_0^\infty pc_1(p, s) e^{-(z-h)\sqrt{p^2+s}} J_0(rp) dp = \\ &= b \int_0^\infty p \left[ \frac{1}{s} e^{b\sqrt{s}} \frac{(as + \sqrt{p^2 + s})^{abs-1} e^{-(b+z-h)\sqrt{p^2+s}}}{(a\sqrt{s} + 1)^{abs} s^{1/2abs}} \right] J_0(rp) dp \end{aligned} \quad (35)$$

Далее, осуществляя обратное преобразование Лапласа и меняя порядок интегрирования, что считаем законным, из (35) получаем

$$\theta_2(r, z, t) = b \int_0^\infty F \left[ \frac{1}{2\pi i} \int_{\sigma-i\infty}^{\sigma+i\infty} e^{st} e^{b\sqrt{s}} \frac{(as + \sqrt{p^2 + s})^{abs-1} e^{-(b+z-h)\sqrt{p^2+s}}}{(a\sqrt{s} + 1)^{abs} s^{1/2abs}} \frac{ds}{s} \right] J_0(rp) dp$$

или, что то же самое,

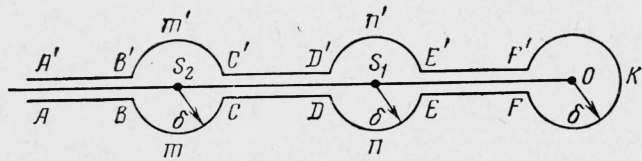
$$\begin{aligned} \theta_2 &= b \int_0^\infty p \left[ \frac{1}{2\pi i} \int_{\sigma-i\infty}^{\sigma+i\infty} \exp \left[ st + b\sqrt{s} - (b+z-h)\sqrt{p^2+s} - abs \ln(a\sqrt{s} + 1) - \right. \right. \\ &\quad \left. \left. - \frac{abs}{2} \ln s + (abs - 1) \ln(as + \sqrt{p^2 + s}) \right] \frac{ds}{s} \right] J_0(rp) dp \end{aligned} \quad (37)$$

Для нахождения поля температур  $T_2$  из (37) следует учесть обозначения (12) и использовать известный принцип Дюгамеля.

Итак, в дальнейшем надо вычислить внутренний интеграл в (37). Очевидно, что внутренний интеграл (37) вдоль бесконечной прямой, параллельной минимой оси, может быть заменен интегралом по контуру  $ABmCD$  и  $EFkF'E'n'D'c'm'B'A'$  (фиг. 2), когда  $A$  и  $A'$  устремляются в  $-\infty$ . Здесь разрез произведен вдоль вещественной оси (фиг. 2). Особые точки подынтегральной функции будут точками ветвления. Эти особые точки следующие:

$$s_0 = 0, \quad s_1 = \frac{1}{2}a^{-2}(1 - \sqrt{1 + 4p^2 p^2}), \quad s_2 = -p^2$$

По смыслу задачи следует выбрать ту ветвь  $y, \sqrt{p^2 + s}$ , которая дает значение, равное  $|p|$  при  $s = 0$ . Далее, если иметь в виду плоскость  $s$ , разрезанную так, как



Фиг. 2

указано на фиг. 2, то  $a\sqrt{s+1}$  не имеет корней. Величина  $s_1$  есть корень уравнения

$$as + \sqrt{p^2 + s} = 0$$

Второй корень его исключается соглашением о выборе ветви у корня  $\sqrt{p^2 + s}$ .  
Принимаем

$$\begin{array}{lll} \arg s = -\pi & \text{в точке } A, & \arg s = \pi & \text{в точке } A' \\ \arg(p^2 + s) = -\pi & \text{в точке } B, & \arg(p^2 + s) = \pi & \text{в точке } B' \\ \arg(as + \sqrt{p^2 + s}) = -\pi & \text{в точке } D, & \arg(as + \sqrt{p^2 + s}) = \pi & \text{в точке } D' \end{array}$$

Здесь  $BmC, DnE, B'm'C', D'n'E'$  — полуокружности радиуса  $\delta > 0$ ,  $FkF'$  — окружность радиуса  $\delta$ .

Итак, в равенстве (37) нужно вычислить внутренний интеграл, который заменился на интеграл

$$\begin{aligned} J = & \int_{ABmCDnEFkF'E'n'D'c'm'B'A'} = \int_{AB} + \int_{CD} + \int_{EF} + \\ & + \int_{F'E'} + \int_{D'C'} + \int_{B'A'} + \int_{BmC} + \int_{DnE} + \int_{FkF'} + \int_{E'n'D'} + \int_{C'm'B'} \end{aligned} \quad (38)$$

Прежде чем осуществлять вычисление интеграла (35), примем следующие обозначения:

$$\begin{aligned} s &= Re^{-i\pi} && \text{вдоль отрезков } AB, CD, EF \\ s &= Re^{+i\pi} && \text{вдоль отрезков } B'A', D'C', F'E' \end{aligned}$$

Объединяя интегралы по прямолинейным отрезкам  $AB$  и  $B'A'$ ,  $CD$  и  $D'C'$ ,  $EF$  и  $F'E'$  и осуществляя нужные вычисления при стремлении  $\delta$  к нулю, найдем

$$\int_{AB} + \int_{B'A'} = \frac{1}{\pi} \int_{p^2}^{\infty} e^A \sin B \frac{dR}{R} \quad (39)$$

$$\int_{CD} + \int_{D'C'} = -\frac{1}{\pi} \int_{s_1}^{|s_2|} e^C \sin D \frac{dR}{R} \quad (40)$$

$$\int_{EF} + \int_{F'E'} = \frac{1}{\pi} \int_0^{|s_1|} e^E \sin F \frac{dR}{R} \quad (41)$$



Фиг. 3

где

$$\begin{aligned}
 A &= -Rt + abR \ln R_1 + \frac{1}{2}abR \ln R - (abR + 1) \ln R_2 \\
 B &= (b + z - h) - b \sqrt{R} + \frac{1}{2}abR\pi - abR\varphi_1 - (abR + 1)\varphi_2 \\
 C &= -Rt - (b + z - h) \sqrt{p^2 + R} + abR \ln R_1 + \frac{1}{2}abR \ln R - (abR + 1) \ln R_3 \\
 D &= b \sqrt{R} + abR\varphi_1 - \frac{1}{2}abR\pi \\
 E &= -Rt - (b + z - h) \sqrt{p^2 - R} + abR \ln R + \frac{1}{2}abR \ln R - (abR + 1) \ln R_2 \\
 F &= b \sqrt{R} + abR\varphi_1 + \frac{1}{2}abR \\
 |s_1| &= \frac{1}{2}a^{-2} (\sqrt{1 + 4a^2 p^2} - 1), \quad |s_2| = p^2 \\
 \varphi_1 &= \operatorname{arc tg} a \sqrt{R}, \quad \varphi_2 = \operatorname{arc tg} (\sqrt{R - p^2} / aR) \\
 R_1 &= \sqrt{1 + a^2 R}, \quad R_2 = \sqrt{a^2 R^2 + R - p^2}, \quad R_3 = |aR - \sqrt{p^2 - R}| \\
 \end{aligned} \tag{42}$$

Интегралы по полуокружностям  $BmC$ ,  $B'm'C'$ ,  $DnE$ ,  $D'n'E'$  в пределе при  $\delta \rightarrow 0$  равны нулю.

Интеграл около нуля при замене  $s = \delta e^{i\varphi}$  примет вид

$$\lim_{\delta \rightarrow 0} \int_{FkF'} = \frac{e^{-(b+z-h)|p|}}{|p|} \tag{43}$$

Итак, внутренний интеграл по контуру, изображенном на фиг. 2, в пределе, когда  $A$  и  $A'$  устремляются в  $-\infty$ , а радиусы окружностей  $\delta \rightarrow 0$ , выразится суммой правых частей равенств (39) — (41), (43). Для вычисления внутреннего интеграла (37) можно поступить и иначе.

Воспользуемся тем, что все особые точки лежат в левой полуплоскости. Поэтому можно, пользуясь известной леммой Жордана, свести упомянутый интеграл к интегралу по мнимой оси с обходом нуля (начала координат) по полуокружности сколь угодно малого радиуса  $\delta$ , лежащей в правой полуплоскости (фиг. 3). Имеем

$$\frac{1}{2\pi i} \lim_{\substack{\delta \rightarrow 0 \\ A \rightarrow -i\infty \\ D \rightarrow +\infty}} \left\{ \int_A^B + \int_{BmC}^D + \int_C^D \right\} = \frac{1}{2\pi i} \left\{ \int_{-i\infty}^0 + \int_0^{i\infty} \right\} + \frac{1}{2\pi i} \int_{BmC} \quad . \tag{44}$$

$$\frac{1}{2\pi i} \left\{ \int_{-i\infty}^0 + \int_0^{i\infty} \right\} = \frac{1}{\pi} \int_0^\infty e^M \sin N \frac{dy}{y} \quad (s = iy) \tag{45}$$

$$\frac{1}{2\pi i} \int_{BmC} = \lim_{\delta \rightarrow 0} \frac{i}{2\pi i} \int_{-i/2\pi}^{i/2\pi} \exp \left[ -(b + z - h)p - \ln |p| \frac{i\delta e^{i\varphi}}{\delta e^{i\varphi}} d\varphi \right] = \frac{e^{-(b+z-h)|p|}}{2|p|} \quad (s = \delta e^{i\varphi}) \tag{46}$$

где

$$\begin{aligned}
 M &= b \sqrt{1/2y} - (b + z - h)(p^4 + y^2)^{1/4} \cos 1/2\varphi_1 + \theta_2 aby + 1/4\pi aby^1/4\pi - aby\theta_3 - \ln R_2 \\
 N &= yt + b \sqrt{1/2y} - (b + z - h)R_1 \sin 1/2\varphi_1 - 1/2aby \ln y - aby \ln R_2 + aby \ln R_3 - \theta_3 \\
 R_1 &= (p^4 + y^2)^{1/4}, \quad \varphi_1 = \operatorname{arc tg} (y/p^2) \\
 \end{aligned} \tag{47}$$

$$R_2 = \sqrt{(a \sqrt{1/2y} + 1)^2 + (a \sqrt{1/2y})^2}, \quad \theta_1 = 1/2\varphi_1 = 1/2 \operatorname{arc tg} (y/p^2)$$

$$R_3 = \sqrt{R_1^2 \cos^2 1/2\varphi_1 + (ay + R_1 \sin 1/2\varphi_1)^2}$$

$$\theta_2 = \operatorname{arc tg} \frac{a \sqrt{1/2y}}{1 + a \sqrt{1/2y}}, \quad \theta_3 = \operatorname{arc tg} [(ay + R_1 \sin \theta_1) / (R_1 \cos \theta_1)]$$

Итак, по второму методу внутренний интеграл (37) равен сумме правых частей равенств (45) и (46).

Окончательное выражение для действительного поля температур пласта для условия (13) при учете (12) имеет вид

$$T_2 = T_0 - \frac{b}{\pi} \int_0^\infty P \left\{ \int_{p^*}^\infty e^A \sin B \frac{dR}{R} - \int_{|s_1|}^{p^*} e^C \sin D \frac{dR}{R} + \right. \quad (48)$$

$$\left. + \int_0^{|s_1|} e^E \sin F \frac{dR}{R} + \frac{\pi}{|p|} \exp [-(b + z - h)] \right\} J_0(rP) dp \quad (49)$$

Если в (49) положить  $z = h$ , найдем поле температур в слое воды ( $-h \leq z \leq h$ ). Если вместо условия (14) взять условие (1.3), то можно применить принцип Диагамеля [12]. Именно, если  $T_2$  — температура, найденная для случая, когда краевая температура равна единице, т. е. определенная формулой (49), то при краевой температуре  $\psi(t)$  температура  $T_2^*$  записется в виде

$$T_2^* = \frac{\partial}{\partial t} \int_0^t \psi(t-\tau) T_2(\tau) d\tau = \frac{\partial}{\partial t} \int_0^t \psi(\tau) T_2(t-\tau) d\tau \quad (50)$$

Может оказаться необходимым закачивать в скважину сначала жидкость одной температуры

$$T_1 = T_1^* = \text{const} \quad \text{при } r = 0, z = h, \quad 0 < t < t_0$$

а затем при  $t \geq t_0$  закачивать жидкость другой температуры [4, 9]

$$T_1 = T_1^{**} \quad \text{при } r = 0, \quad z = h$$

Тогда для  $0 \leq t < t_0$  температура  $T_2(r, z, t)$  будет представлена формулами (49), (50), а температура  $T_2^*(r, z, t)$  представится формулой [9]

$$T_2^* = T_2(r, z, t) - T_2(r, z, t - t_0) \quad (51)$$

Полагая здесь  $z = h$ , найдем поле температур в зоне воды.

Поступила 5 I 1962

#### ЛИТЕРАТУРА

1. Б е л я к о в М. Ф. Влияние искусственного заводнения на термальный режим нефтяного месторождения. Докл. АН СССР, 1949, т. 66, № 3.
2. Т а г и е в Ш. М. Влияние закачиваемой воды на температуру пласта. Азерб. нефтяное хозяйство, 1960, № 9.
3. Ч а р н ы й И. А. Нагревание призабойной зоны при закачке горячей жидкости в скважину. Нефтяное хозяйство, 1953, № 2—3.
4. Ч е к а л ю к Э. Б., С т е п а н ч и к о в К. А., О г а н о в К. А., С н а р с к и й А. Н. Тепловая обработка истощенного нефтяного пласта. Нефтяное хозяйство, 1954, № 1—2.
5. Ч е к а л ю к Э. Б. Температурное поле пласта при инъекции теплоносителя в скважине. Нефтяное хозяйство, 1955, № 4.
6. Р у б и н ш т е й н Л. И. О температурном поле пласта при нагнетании в пласт горячего теплоносителя. Сб. Тр. Уфимск. нефт. ин-та, 1958, вып. II.
7. Д а х н о в В. Н., Д ы л я к о н о в Д. И. Термические исследования скважин. Гостоптехиздат, 1952.
8. Р у б и н ш т е й н Л. И. Об одной контактной термоконвективной задаче. Докл. АН СССР, 1960, т. 135, № 4.
9. Р у б и н ш т е й н Л. И. О температурном поле пласта при тепловой инъекции. Тр. по теории фильтрации и гидродинамики нефтяного пласта. Изд. Казанск. ун-та, 1961.
10. М а л о ф е е в Г. Е. Экспериментальное изучение нагрева пласта при закачке горячей воды. Нефть и газ, 1958, № 12; 1959, № 5, 9; 1960, № 7.
11. L a u v e g i e H. A. The Transport of Heat in an Oil Layer Caused by the Injection of Hot Fluid. Appl. Sci. Res. Sec. A., 1955, vol. 5, No 2 — 3.
12. С н е д д о н И. Преобразования Фурье. ИЛ, 1955.
13. Л ы к о в А. В. Теория теплопроводности. Гостехтеоретиздат, 1952.
14. Р ы ж и к И. М., Г р а д ш т е й н И. С. Таблицы интегралов сумм, рядов и произведений. Гостехтеоретиздат, М. — Л., 1951.